

地震基盤における強震動波形の統計的予測モデルについて

東北工業大学 正員 神山 真

1. まえがき

一般に、地盤震動は震源機構、伝播経路、観測点の表層地盤条件など多くの要因によって支配される。従って、地表での強震記録はこれらの要因の混在した形で得られる。特に、観測点の地盤条件は強震波形に複雑な影響をもたらすことが知られている。一方、地盤の地震時応答解析などでは、その入力地震動として地盤条件の影響を受けない、基盤での強震動波形が必要である。このため、このような基盤での強震動波形を実測により求める試みは近年、各所で行われるようになってきた。しかし、対象を強震動に限った場合、記録の蓄積は未だ十分でなく、また巨大地震の発生確率を考えると、今後とも記録の充実は早急に望めようもない。本文は、このような欠を補う意味で、堆積層を有する地盤表面の強震記録を統計解析することにより、基盤での強震動波形を予測する方法について述べたものである。

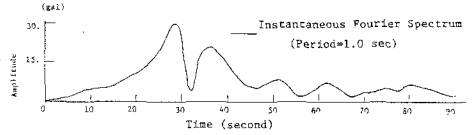


図1 瞬間フーリエスペクトルの時間変動の例

2. 非定常性を考慮した強震動波形の重回帰モデル

強震動波形の各周波数成分の振幅特性は時間的に非定常な変動を示すことが多く、従って、強震動波形の統計解析をするためには、このような非定常性を簡単なパラメータをもつモデル関数で模擬する方法を検討する必要がある。

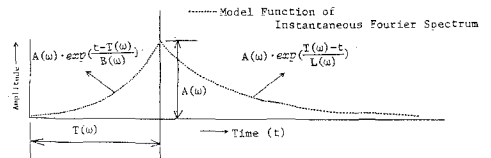


図2 模擬関数の時間変動

いま、代表的な強震記録の、ある周期の非定常性の例を示すと図1の通りである(1968年十勝沖地震、青森港SMAC強震記録、E-07成分、周期1.0秒)。図1はマルチフィルタリングの原理を応用した非定常スペクトル解析により得られた瞬間フーリエスペクトルの時間変動を示したものである。図1に示す通り、一般に瞬間フーリエスペクトルの時間変動は局部的なピークをもつが、大局的にみると最大のピークを中心として、それに達する立上がり部とピーク以降の減衰部に列けることができる。そこで、このような時間変動を図2のような関数を近似する。この関数は $A(u)$ 、 $T(u)$ 、 $B(u)$ 、 $L(u)$ の4つのパラメータをもつ。このような関数で非定常スペクトルを近似したときの波形と原波形の比較例を図3に示す。図3から、ここで用いた簡単な模擬関数でも、原記録の波形を比較的良好に再現できることがわかる。

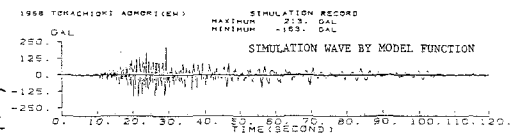
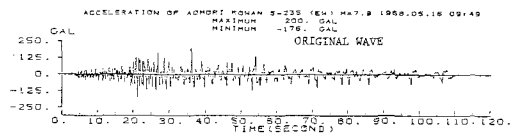


図3 原波形と模擬関数によるシミュレーション波形の比較

次に、上述のモデル関数のパラメータを統計解析する方法を検討した。ここでは、震源、伝播経路、観測点条件の影響を定量化できる統計解析としてタミー変数を導入した重回帰モデル²⁾を導入した。用いた重回帰式は次の通りである(モデルの物理的意味などは2)に詳しいので省略する)。

$$\log_{10} A(\omega) = a_A(\omega) \cdot M_j - b_A(\omega) \cdot \log_{10} (d+30) - d_A(\omega) \cdot D - c_A(\omega) + \log_{10} 2 + \sum_{i=1}^n A_{Ai}(\omega) \cdot S_i \quad (1)$$

$$\log_{10} T(\omega) = a_T(\omega) \cdot M_j - b_T(\omega) \cdot \log_{10} (d+30) - d_T(\omega) \cdot D - c_T(\omega) + \sum_{i=1}^n A_{Ti}(\omega) \cdot S_i \quad (2)$$

$$\log_{10} B(\omega) = a_B(\omega) \cdot M_j - b_B(\omega) \cdot \log_{10} (d+30) - d_B(\omega) \cdot D - c_B(\omega) + \sum_{i=1}^n A_{Bi}(\omega) \cdot S_i \quad (3)$$

$$\log_{10} L(\omega) = a_L(\omega) \cdot M_j - b_L(\omega) \cdot \log_{10} (d+30) - d_L(\omega) \cdot D - c_L(\omega) + \sum_{i=1}^n A_{Li}(\omega) \cdot S_i \quad (4)$$

ここに、 $a_A(\omega)$ 、 $b_A(\omega)$ 、 $d_A(\omega)$ 、 $c_A(\omega)$ 、 $A_{Ai}(\omega)$ などはいずれも定数。 S_i はタミー変数。

式(1)~式(4)の重回帰モデルを多くの強震記録に適用し、各説明変数 α は F -テスト M_j 、震元距離 Δ 、震源深さ D 、 γ 変数 β の回帰係数を最小自乗法により求め、各要因の影響を定量的に得ることができ。

統計解析のデータとなった強震記録は運輸省、建設省が全国に設置してあるSMAC強震計による水平動記録81成分である。観測点を図4に示す。

3. 強震動の非定常特性に与える観測地地盤条件の影響

式(1)~(4)の重回帰モデルにおける γ 変数の回帰係数から各観測地の地盤条件に与える影響を代表的観測地について求めた例が図5である。図5は図2に示したモデル係数のパラメータ γ に観測地地盤条件による増幅率として示してある。図5の例から、観測地の地盤条件の強震動の非定常特性に与える影響が極めて大きいことがわかる。特に、観測地 γ に非定常特性に与える影響が異なり、地盤条件固有の非定常性が強震動波形にもたらされることもわかる。

図5の $A(\omega)$ と $T(\omega)$ の周期変動を詳しく調べると興味深いことが見られる。すなわち、 $A(\omega)$ と $T(\omega)$ の分布が相似している観測地と相似してない観測地があることである。 $A(\omega)$ は非定常スペクトルの最大振幅を与えるパラメータであり、一方 $T(\omega)$ はこの最大値が生じる時間を表わすパラメータである。従って、 $A(\omega)$ と $T(\omega)$ の関係を考察することにより非定常スペクトルを構成する波動成分をある程度まで識別できる²⁾。図5の例を言えば、AOMORIの観測地では群速度が極めて小さい周期で振幅が最大となる表面波の特徴が示されており、MIYAKOではそのような特徴がない。この例から、表面波の生じ易い地盤条件と生じ難い地盤条件とが考えられる。

4. 地震基盤における強震動波形の予測例

式(1)~(4)の重回帰モデルから強震動波形の非定常特性に与える各要因の影響を統計的に求めたことであるが、このうち上述の観測地の地盤条件の影響を分離するに基盤での強震動波形の非定常性を求めることができる。さらに、このように求まる非定常スペクトルを逆変換するに基盤での強震動波形を統計的に予測できることとなる。以上のように求まる基盤での強震動波形の予測を実測記録と比較した結果が図6である。図6は $M_j=7.4$ 、 $\Delta=103\text{ Km}$ 、 $D=40\text{ Km}$ の条件で予測した基盤での強震動波形と同条件の実測記録である。図6から予測は実測と種々の観測から5方向を示すことがわかる。

(参考文献)

- 1) 神山：強震動の非定常スペクトル特性とその理論的考察，1979。
- 2) 神山：地盤の強震動特性とその予測に関する研究，1985。

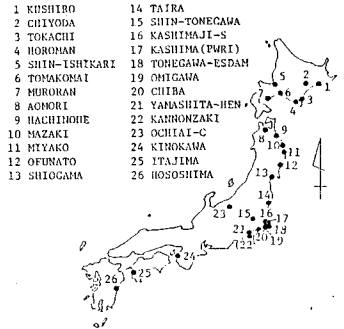


図4 強震記録の観測地

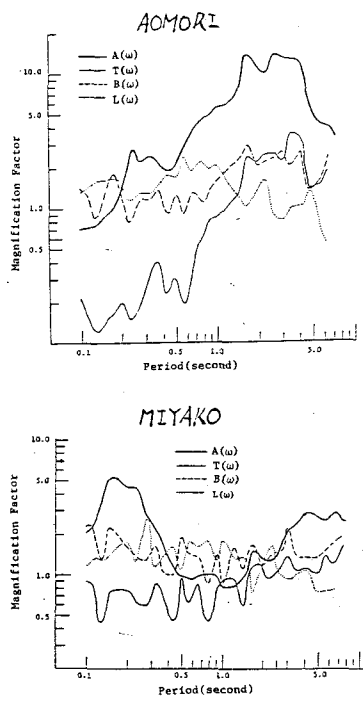


図5 モデルパラメータの増幅率の例

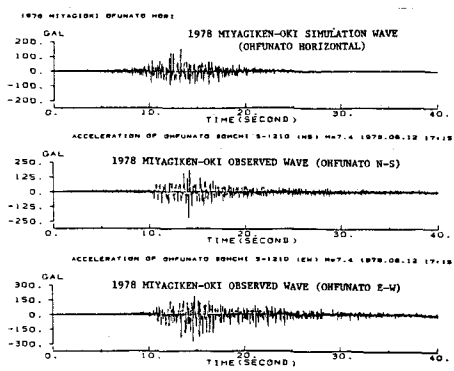


図6 基盤での予測波形と実測記録の比較